

## 8-비트 AVR 환경에서 블록암호 PRESENT의 최적 구현\*

신명수\*, 신한범\*, 김선엽\*, 김성겸\*\*, 서석충\*\*\*, 홍득조\*\*\*\*, 성재철\*\*\*\*\*, 홍석희\*\*\*\*\*

\*,\*\*\*\*\*고려대학교 (대학원생, 교수), \*\*삼성전자 (연구원), \*\*\*국민대학교 (교수),  
\*\*\*\*전북대학교 (교수), \*\*\*\*\*서울시립대학교 (교수)

### Optimized Implementation of PRESENT on 8-bit AVR

Myoungsu Shin\*, Hanbeom Shin\*, Sunyeop Kim\*, Seonggyeom Kim\*\*,  
Seog Chung Seo\*\*\*, Deukjo Hong\*\*\*\*, Jaechul Sung\*\*\*\*\*, Seokhie Hong\*\*\*\*\*

\*,\*\*\*\*\*Korea University (Graduate student, Professor),  
\*\*Samsung Electronics (Researcher), \*\*\*Kookmin University (Professor),  
\*\*\*\*Jeonbuk National University (Professor), \*\*\*\*\*University of Seoul (Professor)

### 요 약

SPN 경량 블록암호 PRESENT는 제한된 리소스 환경에서 암호/복호화 작업이 효율적으로 수행되도록 설계되었다. 또한 다양한 환경에서 효율적으로 구현할 수 있도록 지속적으로 연구되어왔다. 본 논문에서는 8-비트 AVR 환경에서 PRESENT의 bit permutation 연산을 최적화하는 방안을 제시한다. 16-비트 단위로 구현된 bit permutation 연산을 그대로 이식하는 방법 대신 8-비트 단위로 재구성한 뒤 이를 8-비트 AVR 어셈블리 명령어를 활용하여 코드 길이와 속도 측면에서 최적화된 구현물을 제시한다. 본 논문의 제안 구현은 1바이트당 445 cycles의 성능을 가지며 이전 최적 구현물보다 코드 길이는 16.5%, 연산 속도는 13.3% 개선되었다. 이는 8-비트 AVR 상에서 구현된 PRESENT의 현재까지 구현물 중 가장 적은 cpb를 보여준다.

## I. 서론

IoT 기술의 발전으로 우리의 일상생활에 많은 스마트 기기들이 도입되었다. 이에 따라 IoT 디바이스는 많은 양의 데이터를 처리 및 통신해야한다. 이러한 데이터에는 개인정보나 기밀정보를 포함할 수 있으므로 암호화가 필수적이다. 하지만 IoT 디바이스는 제한된 리소스를 가지고 있으며 저전력 환경에서 작동되기 때문에 암호/복호화를 효율적으로 수행하기 위해서는 경량 블록암호의 최적 구현이 필수적이다.

경량 블록암호 PRESENT[1]는 효율적인 하드웨어 구현을 목표로 설계되었지만 다른 디바이스 또는 서버와 통신하기 위해서는 소프트웨어에서 효율적인 구현이 필수적이다. CHES 2017에서 PRESENT의 bit permutation 연산을 분해하여 소프트웨어에서 효율적인 구현 방법[2]이 제안되었다. [3]에서는 [2]에서 제안된 방법을 저사양 프로세서인 8-비트 AVR 환경으로 이식하여 1블록 암호화에서 효율적인 구현을 제시하였다.

본 논문에서는 8-비트 AVR 환경에서 기존에 제안된 구현 결과물보다 코드 길이와 속도 측면에서 최적화된 구현물을 제시한다. [3]에서는 16-비트 단위로 구현된

bit permutation 연산을 그대로 이식하였지만 본 논문에서는 8-비트 단위로 연산을 재구성한 뒤 이를 8-비트 AVR 어셈블리 명령어를 활용하여 최적화하였다.

논문의 구성은 다음과 같다. II장에서는 경량 블록암호 PRESENT와 소프트웨어 최적화 구현에 관한 기존 연구 결과를 소개한다. III장에서는 8-비트 AVR 환경에서의 PRESENT에 대한 새로운 최적화 구현을 제안한다. IV장에서는 제안 구현 결과의 성능을 평가하고 V장에서 본 논문에 대한 결론을 내린다.

## II. 관련 연구

### 2.1 경량 블록암호 PRESENT

CHES 2007에서 제안된 PRESENT[1]는 64-비트 블록 크기, 80-비트 또는 128-비트 키를 지원하는 경량 블록암호이다. SPN(Substitution Permutation Network) 구조로 구성되어 있으며 키 길이와 상관없이 31라운드를 사용하지만, 키스케줄은 키 길이에 따라 다르게 구성되어 있다. 그림 1은 PRESENT의 암호화 동작 과정을 나타낸 것이다. PRESENT는 암호화 중간 상태와 라운드키가 XOR 연산되는 addRoundKey 연산, 비선형 연산인  $S$ (substitution 연산), 선형 연산인  $P$ (permutation 연산)로 이루어져 있고, 키스케줄에 의해 64-비트 라운드키 32개가 생성된다.  $S$ 연산은 4-비트

\* 본 연구는 고려대 암호기술 특화연구센터(UD210027XD)를 통한 방위사업청과 국방과학연구소의 연구비 지원으로 수행되었습니다.

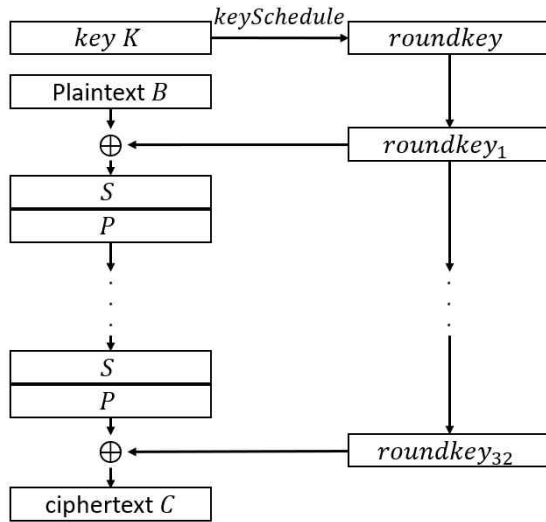


그림 1. PRESENT 암호화 동작 과정

S-box를 사용하고, LUT(Look-Up Table) 방식으로 4-비트씩 테이블을 참조하거나 입/출력 블록들을 슬라이스들로 변환하는 packing/unpacking 연산을 추가해 비트 슬라이스[4] 방법( $unpack \circ S_{BS} \circ pack = S$ )으로 구현할 수 있다.  $P$ 연산은 비트 단위 자리 이동 연산인 bit permutation 연산으로, 수식 (1)에 표현된  $P()$ 를 사용하여  $i$ 번째 비트는  $P(i)$ 번째 자리로 이동한다.

$$P(i) = \begin{cases} 16i \bmod 63 & \text{if } i \neq 63, \\ 63 & \text{if } i = 63. \end{cases} \quad (1)$$

## 2.2 PRESENT 소프트웨어 최적 구현 방법

[2]는 2라운드 PRESENT에서  $P$ 연산을 새로운 분해 방법을 사용해 소프트웨어에서 효율적인 구현 방법이 제시하였다.  $P$ 를 소프트웨어에서 효율적으로 구현가능한 두 개의 bit permutation 연산  $P_0, P_1$ 으로 분해하여 연속하는 두 라운드에서 사용한다. 이때  $P$ 연산이 갖는 다음 **【성질 1】**을 이용하며,  $P_0, P_1$ 은 다음의 **【조건 1, 2】**를 만족해야 한다.

**【성질 1】**  $P$ 는 packing 구조를 가진다.

즉,  $P^{-1} \circ S_{BS} \circ P = S$ 를 만족한다.

**【조건 1】**  $P_0$ 가 packing 구조를 가진다.

즉,  $P_0^{-1} \circ S_{BS} \circ P_0 = S$ 를 만족한다.

**【조건 2】**  $P_1 \circ P_0 = P^2$ 를 만족한다.

그림 2는 PRESENT의 연속하는 2라운드( $1 \leq i \leq 15$ )에 대한 4가지 동등한 연산 방법을 나타낸 것이다. 위 성질 및 조건을 통해 4가지 방법의 연산 결과가 같음을 다음과 같이 증명할 수 있다. 먼저 **【성질 1】**의 양변에  $P$  연산을 하면  $S_{BS} \circ P = P \circ S$ 이다. 따라서 그림 2의 (a)와 (b)는 연산 결과가 같다. addRoundKey 연산은 라운드키와 XOR 연산만 하는 것이기 때문에 해당 라운드 키에  $P$ 연산을 하면  $P$ 와 연산 순서를 바꾸어도 연산 결과에 변화가 없다. 그러므로 그림 2에서 (b)와 (c)의 연산 결과는 같다. 마지막으로 **【성질 1】**과 **【조건 1】**에 의해  $P^{-1} \circ S_{BS} \circ P = P_0^{-1} \circ S_{BS} \circ P_0$

( $= S$ )가 성립하므로 양변에  $P^2$  연산을 수행하면 **【조건 2】**에 의해  $P \circ S_{BS} \circ P = P^2 \circ P_0^{-1} \circ S_{BS} \circ P_0 = P_1 \circ S_{BS} \circ P_0$ 가 성립한다. 따라서 그림 2에서 (c)와 (d)의 연산 결과가 같다.

[2]에서 최종적으로 제안한 방법인 (d)는 일부 라운드키에 추가로 수행해야 하는  $P$ 연산에 대한 부하가 발생한다. 그러나 일반적으로 한 번의 키스케줄로 생성한 라운드키들로 여러 블록들을 암호화 하기 때문에 처음 키스케줄할 때  $P$ 연산을 하여 라운드키를 저장하면 부하 영향이 적다.

표 1은 16-비트 워드 단위  $P_1$ 에 대한 C 코드이며 SWAPMOVE[5] 연산 4회로 구현되었다. SWAPMOVE 연산을 사용하여 bit permutation 연산을 구성하면 소프트웨어에서 효율적으로 구현할 수 있다. Algorithm 1은 SWAPMOVE 연산 알고리즘으로,  $M$ 으로 마스크된  $B$ 의 비트와 ( $M \ll N$ )으로 마스크된  $A$ 의 비트의 자리를 서로 교환할 때 사용된다.

### [Algorithm 1] SWAPMOVE [5]

**Input** : swap object  $A, B$ , mask  $M$ , shift size  $N$

**Output** :  $A, B$  after bit swap

1.  $temp = ((A \gg N) \oplus B) \wedge M$
2.  $B = B \oplus temp$
3.  $A = A \oplus (temp \ll N)$

표 1 PRESENT 16-비트 워드 단위  $P_1$  C 코드[2]

PRESENT permutation 16-bit  $P_1$  C code[2]

-X :64-bit intermediate state (X[3],X[2],X[1],X[0])

void P1(uint16\_t\* X)

```

{
1.  SWAPMOVE(X[0], X[1], 0x0F0F, 4);
2.  SWAPMOVE(X[2], X[3], 0x0F0F, 4);
3.  SWAPMOVE(X[1], X[3], 0x00FF, 8);
4.  SWAPMOVE(X[0], X[2], 0x00FF, 8);
}
  
```

## 2.3 8-비트 AVR 마이크로컨트롤러

다양한 IoT 기기에서 사용되고 있는 마이크로컨트롤러 AVR ATmega128은 기본 워드 크기가 8-비트이며, 기본적으로 8-비트 단위 연산을 수행한다. RISC 아키텍처로 32개의 8-비트 일반 목적 레지스터를 탑재하고 있으며 133개의 명령어 셋을 가지고 있다. 동작 주파수는 16MHz이고 4KB EEPROM, 128KB 플래시 메모리, 4KB SRAM을 탑재하고 있다.

## 2.4 8-비트 AVR 상에서 PRESENT의 기존 최적 구현

[3]에서는 [2]에서 16-비트 단위로 제시한 방법을 8-bit AVR 환경에서 2라운드 구현 후 이를 반복적으로 수행하는 방식으로 구현하였다. 표 2는 [3]에서 제안한 8-비트 AVR에서  $P_1$ 구현의 일부이며, 표 1의 첫 번째 줄을 AVR 어셈블리로 구현한 것이다. 16-비트 단위의 logical shift 연산은 레지스터 2개로 8-비트 AVR 명령

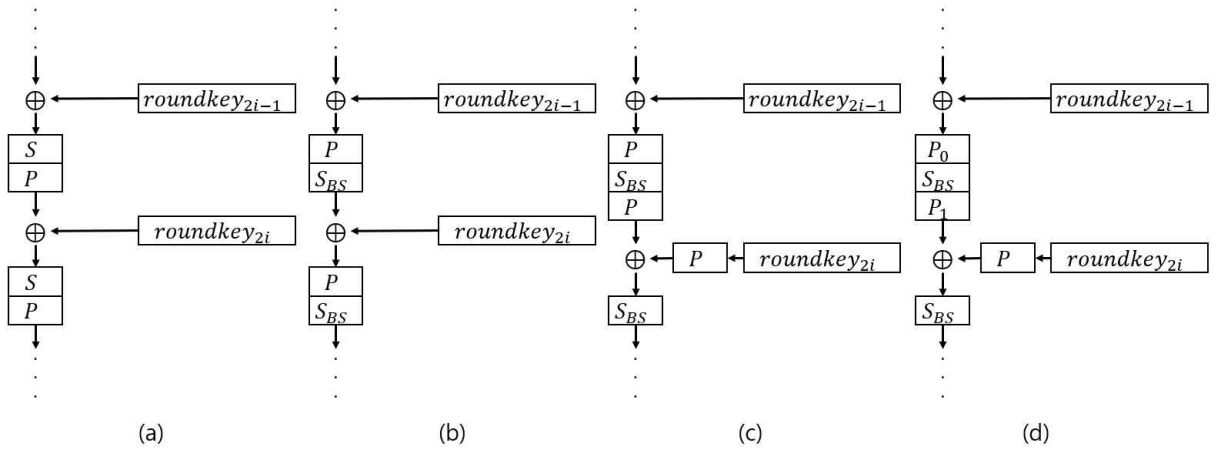


그림 2. 2라운드 PRESENT에 대한 4가지 구현 방법

어인 'LSR', 'ROR', 'LSL', 'ROL'을 사용해 구현하였고, XOR 연산에는 'EOR', 상수와 AND 연산에는 'ANDI'를 사용하였다. 여기서 사용된 명령어들의 비용은 모두 1 cycle이다.

표 2에서 shift right(left) 4 연산은 2번째 줄부터 9번째 줄(16번째 줄부터 23번째 줄)까지이므로 8개 명령어 즉, 8 cycles 씩 필요하다. 표 2와 같이  $P_1$ 을 구현하면 비용이 1 cycle인 명령어 60개, 전체 라운드에서 필요한  $P_1$  연산은 16회이므로 총 960 cycles 가 필요하다.

표 2 16-비트 SWAPMOVE( $X[0]$ ,  $X[1]$ ,  $0x0F0F$ , 4)  
AVR 어셈블리 코드[3]

16-bit SWAPMOVE( $X[0]$ ,  $X[1]$ ,  $0x0F0F$ , 4) AVR ASM code[3]  
-X0\_0,X0\_1 :8-bit register of 16-bit X[0](low,high)  
-X1\_0,X1\_1 :8-bit register of 16-bit X[1](low,high)  
-T0,T1 :8-bit temporary variable

```

SWAPMOVE_0x0F0F_4:
//t=((X0>>4)^X1)& 0x0F0F
1.  MOVW T0, X0_0
2.  LSR T1
3.  ROR T0
4.  LSR T1
5.  ROR T0
6.  LSR T1
7.  ROR T0
8.  LSR T1
9.  ROR T0
10. EOR T0, X1_0
11. EOR T1, X1_1
12. ANDI T0, 0X0F
13. ANDI T1, 0X0F
14. EOR X1_0, T0
15. EOR X1_1, T1
// X0=X0^(t<<4);
16. LSL T0
17. ROL T1
18. LSL T0
19. ROL T1
20. LSL T0
21. ROL T1
22. LSL T0
23. ROL T1
24. EOR X0_0, T0
25. EOR X0_1, T1

```

### III. 8-비트 AVR 상에서 $P_1$ 최적 구현

본 장에서는 8-비트 AVR 어셈블리 명령어인 SWAP과 이를 활용한 logical shift 연산을 소개하고 16-비트 단위로 구현된  $P_1$ 을 8-비트 단위로 재구성한 최적 구현을 제안한다.\*

#### 3.1 SWAP 명령어를 활용한 logical shift 4

'SWAP'은 8-비트 레지스터 내에서 상위 4-비트와 하위 4-비트의 위치를 서로 바꿔주는 AVR 어셈블리 명령어이다. 'SWAP' 명령어를 사용하면 1 cycle 만에 8-비트 레지스터에서 4-비트 rotation right(left) 한 것과 결과가 같다. 그림 3은 8-비트 AVR 어셈블리에서 레지스터 예시 Rx에 대한 shift right 4 연산 과정을 나타낸 것이다. 'SWAP'으로 4-비트 rotation 연산한 후,  $0x0F$ 와 AND 연산하여 상위 4-비트를 0으로 만든다. 마찬가지로 shift left 4 연산은 'SWAP' 연산한 후  $0xF0$ 와 AND 연산하여 하위 4-비트를 0으로 만든다.

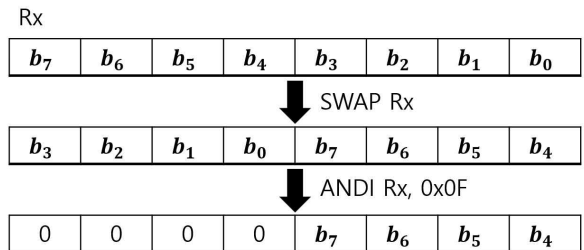


그림 3. 8-비트 AVR 레지스터에서 shift right 4 연산 과정

#### 3.2 8-비트 단위 $P_1$ 최적 구현

표 1의 16-비트 단위  $P_1$ 을 8-비트 AVR에 그대로 이식하면 표 2와 같이 logical shift 4 하는 과정에서 비효율이 발생한다. 본 논문에서는 16-비트 단위로 구현된  $P_1$ 을 8-비트 단위로 재구성하여 8-비트 AVR 상에서  $P_1$ 의 최적 구현을 제안한다. 16-비트 단위  $P_1$ 을 8-비트 단위로 재구성하여 C 코드로 나타내면 표 3과 같다. 표 1의 1, 2번 줄이 표 3의 1, 2, 3, 4번 줄과 대응된다. 2회의 SWAPMOVE 연산이 4회로 증가했지만 이를 8-비트 어셈블리로 최적 구현하면 연산 수가 감소한다. 표 4는 8-비트 AVR 어셈블리로 최적 구현한 코드이다. 3.1절에서 소개한 방법을 사용하면 8-비트 단위에서 shift right(left) 4 연산이 2 cycles 만에 가능하다. 그리고 shift right 4 연산할 때  $0x0F$ 와 AND 연산하는 부분이 마스킹값과 같아 소거할 수 있고, shift left 4 연산에서는

\* 구현코드 [https://github.com/dampers/PRESENT\\_AVR](https://github.com/dampers/PRESENT_AVR)

이미 하위 4-비트가 0으로 되어있기 때문에 AND연산을 소거할 수 있다. 따라서 shift right(left) 4 연산을 'SWAP' 명령어 1회만으로 가능하게 된다. 표 1의 3, 4번째 줄 부분에서는 shift 크기가 8이고 0x00FF를 마스크한다. 이를 8-비트  $P_1$ 으로 재구성하면 shift 크기가 0이고 0xFF를 마스크하게 된다. 이는 8-비트 단위 레지스터끼리의 교환으로 변환할 수 있다. 결과적으로 1회의  $P_1$ 연산에서 명령어 수가 60개에서 28개 줄어든 32개로 구현하였으며, 전체 라운드에서 448 cycles가 감소하였다.

표 3 PRESENT 8-비트 단위  $P_1$  C 코드

PRESENT permutation 8-bit $P_1$ C code	
-X	:64-bit intermediate state(X[7],X[6],X[5],X[4],X[3],X[2],X[1],X[0])
-t	:8-bit temporary variable
<pre> void P1(uint8_t* X) { 1.  SWAPMOVE(X[5], X[7], 0x0F, 4); 2.  SWAPMOVE(X[4], X[6], 0x0F, 4); 3.  SWAPMOVE(X[1], X[3], 0x0F, 4); 4.  SWAPMOVE(X[0], X[2], 0x0F, 4);  //SWAPMOVE(X[3], X[6], 0xFF, 0); 5.  t = X[6]; 6.  X[6] = X[3]; 7.  X[3] = t; //SWAPMOVE(X[1], X[4], 0xFF, 0); 8.  t = X[4]; 9.  X[4] = X[1]; 10. X[1] = t; } </pre>	

표 4 PRESENT의 8-비트 단위  $P_1$  AVR 어셈블리 코드

PRESENT permutation 8-bit $P_1$ AVR ASM proposal code	
-X0,X1,X2,X3,X4,X5,X6,X7:	8-bit intermediate state
-T0,T1	:8-bit temporary variable
<pre> .macro P1 //SWAPMOVE(X0,X2,0x0F,4) 1.  MOVW T0, X0 2.  SWAP T0 3.  EOR T0, X2 4.  ANDI T0, 0x0F 5.  EOR X2, T0 6.  SWAP T0 7.  EOR X0, T0  //SWAPMOVE(X1,X3,0x0F,4) 8.  SWAP T1 9.  EOR T1, X3 10. ANDI T1, 0x0F 11. EOR X3, T1 12. SWAP T1 13. EOR X1, T1  //SWAPMOVE(X4,X6,0x0F,4) 14. MOVW T0, X4 15. SWAP T0 16. EOR T0, X6  17. ANDI T0, 0x0F 18. EOR X6, T0 19. SWAP T0 20. EOR X4, T0  //SWAPMOVE(X5,X7,0x0F,4) 21. SWAP T1 22. EOR T1, X7 23. ANDI T1, 0x0F 24. EOR X7, T1 25. SWAP T1 26. EOR X5, T1  //SWAPMOVE(X3,X6,0xFF,0) 27. MOV T0, X3 28. MOV X3, X6 29. MOV X3, T0  //SWAPMOVE(X1,X4,0xFF,0) 30. MOV T0, X1 31. MOV X1, X4 32. MOV X1, T0 .endm </pre>	

## IV. 성능 평가

본 장에서는 8-비트 AVR 환경인 ATmega128 프로세서에서 기존에 제시된 구현물과 제안하는 구현물의 성능 평가를 진행한다. Microchip Studio 프레임워크에서 구현 및 cycle을 측정하고 컴파일 옵션은 -O3(Optimize most)

를 사용하였다. 키스케줄과 일부 라운드키에 수행되는  $P$  연산을 미리 계산한 것으로 가정하고 1블록 암호화 과정에서의 성능을 평가한다. 성능 측정 결과는 표 5에서 확인할 수 있으며, 코드 크기인 Code size와 RAM은 바이트 단위이고 cpb는 cycles per byte이다. 표 5에 제시된 방법들은 AVR 어셈블리 코드로 작성되었다. 표 5에서 본 논문의 제안 구현물인 PRESENT[this work]는  $P_1$ 을 표 4와 같이 구현한 것으로, 기존 최적 구현에 비해 코드 크기는 16.5%만큼 줄어든 820 bytes로, cpb는 13.3% 개선되어 현재까지의 8-비트 AVR 환경에서 PRESENT의 구현물 중 가장 뛰어난 성능을 보여준다.

표 5 PRESENT 성능 측정 결과

Method	Code size	RAM	cpb
PRESENT ref[3]	956	282	504.25
PRESENT[this work]	820	276	445

◎ code size(Byte) : 암호화 함수의 코드 크기  
 ◎ RAM(Byte) : RAM 사용량  
 ◎ cpb : clock cycles per byte

## V. 결론

본 논문에서는 경량 블록암호 PRESENT에 대한 8-비트 AVR 환경에서 최적 구현을 제시하고 그 성능을 기존 구현물과 비교하였다. 16-비트 단위로 구현된  $P_1$ 을 8-비트 단위 구현으로 최적화하여 기존 최적 구현물보다 16.5% 적은 코드 길이와 13.3% 빠른 연산 속도를 가진 구현물을 제시하였다. 이 구현물은 현재까지의 8-비트 AVR 환경에서 PRESENT 구현물 중 가장 뛰어난 성능을 보여준다. 추후 연구로 매 라운드마다 라운드키를 새로 생성하는 on-the-fly 구현에서 고속화하는 방법에 대한 연구를 남긴다.

## [참고문헌]

- [1] Bogdanov, A., Knudsen, L.R., Leander, G., Paar, C., Poschmann, A., Robshaw, M.J.B., Seurin, Y., Vikkelsoe, C.: PRESENT: an ultra-lightweight block cipher. In: CHES. Lecture Notes in Computer Science, vol. 4727, pp. 450 - 466. Springer (2007)
- [2] Reis, T.B., Aranha, D.F., López, J. PRESENT runs fast. In Proceedings of the International Conference on Cryptographic Hardware and Embedded Systems, Taipei, Taiwan, 25 - 28 September 2017; Springer: Berlin/Heidelberg, Germany, 2017; pp. 644 - 664.
- [3] Kwon H, Kim YB, Seo SC, Seo H. High-Speed Implementation of PRESENT on AVR Microcontroller. Mathematics. 2021; 9(4):374.
- [4] Biham, Eli. "A fast new DES implementation in software." International Workshop on Fast Software Encryption. Springer, Berlin, Heidelberg, 1997.
- [5] May, L., Penna, L., Clark, A.J.: An Implementation of Bitsliced DES on the Pentium MMXTM Processor. In Dawson, E., Clark, A.J., Boyd, C., eds.: Information Security and Privacy, 5th Australasian Conference, ACISP 2000, Brisbane, Australia, July 10-12, 2000, Proceedings. Volume 1841 of Lecture Notes in Computer Science., Springer (2000) 112 - 122